

浙江大学 2009 - 2010 学年 夏 学期

《工程电磁场与波》课程期末考试试卷

课程号： 10120420 ， 开课学院： 电气工程学院

考试试卷： √ A 卷、B 卷（请在选定项上打√）

考试形式： √ 闭、开卷（请在选定项上打√），允许带 计算器 入场

考试日期： 2010 年 7 月 6 日，考试时间： 120 分钟

诚信考试，沉着应考，杜绝违纪。

考生姓名： _____ 学号： _____ 所属院系： _____

题序	一	二	三	四	五	总 分
得分						
评卷人						

一、简答题(40 分)

1. (14 分) 电磁场的基本规律性可由电磁场基本方程组(麦克斯韦方程组)予以描述，试写出此基本方程组的以下各种表述方式（除标出外，其他一空 1 分）：

方程 方程的称谓	积分形式	微分形式	时谐场中的 相量（有效值）形式
全电流定律	$\oint_l \vec{H} \cdot d\vec{l} = \int_s (\vec{J}_c + \vec{J}_v + \vec{J}_D) \cdot d\vec{s}$	$\nabla \times \vec{H} = \left\{ \begin{array}{l} \vec{J}_c \\ \vec{J}_v \end{array} \right\} + \frac{\partial \vec{D}}{\partial t}$	$\nabla \times \dot{\vec{H}} = \left\{ \begin{array}{l} \dot{\vec{J}}_c \\ \dot{\vec{J}}_v \end{array} \right\} + j\omega \dot{\vec{D}}$
电磁感应定律	$\oint_l \vec{E} \cdot d\vec{l} = - \int_s \frac{\partial \vec{B}}{\partial t} \cdot d\vec{s}$	$\nabla \times \vec{E} = - \frac{\partial \vec{B}}{\partial t}$	$\oint_l \vec{E} \cdot d\vec{l} = - \int_s \frac{\partial \vec{B}}{\partial t} \cdot d\vec{s}$
磁通连续性原理或磁场中的高斯定理	$\oint_s \vec{B} \cdot d\vec{s} = 0$	$\nabla \cdot \vec{B} = 0$	$\nabla \cdot \dot{\vec{B}} = 0$
电场中的高斯定理	$\oint_s \vec{D} \cdot d\vec{s} = \sum q = \int_v \rho dv$	$\nabla \cdot \vec{D} = \rho$	$\nabla \cdot \dot{\vec{D}} = \dot{\rho}$

2.(6 分) 为分析与解算电磁场问题的需要，在动态电磁场中，通常引入的位函数为

动态矢量位 \vec{A} （0.5 分）和动态标量位 φ （0.5 分）。它们与基本场量 $\vec{B}(\vec{r}, t)$ 、 $\vec{E}(\vec{r}, t)$

之间的关联关系

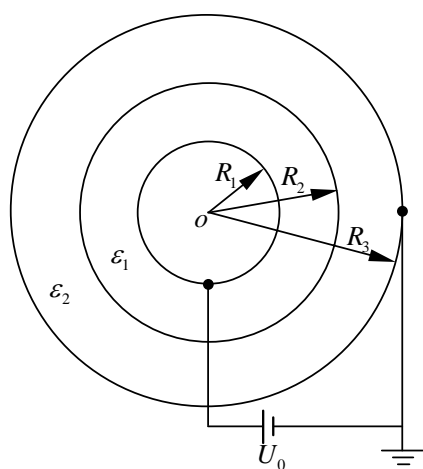
分别为 $\vec{B} = \nabla \times \vec{A}$ (0.5 分) 和 $\vec{E} = -\nabla \varphi - \frac{\partial \vec{A}}{\partial t}$ (0.5 分); 在洛伦兹规范 $\nabla \cdot \vec{A} = -\mu\epsilon \frac{\partial \varphi}{\partial t}$

(1 分) 条件下, 上述动态位与场源 $\vec{J}(\vec{r}', t)$ 、 $\rho(\vec{r}', t)$ 之间的关联关系可由 达朗贝尔方程或非齐次波动方程 (1 分) 方程予以描述, 其时域微分形式的数学表述分别为:

$$\nabla^2 \vec{A} - \mu\epsilon \frac{\partial^2 \vec{A}}{\partial t^2} = -\mu \vec{J}_c \quad (1 \text{ 分})$$

$$\nabla^2 \varphi - \mu\epsilon \frac{\partial^2 \varphi}{\partial t^2} = -\frac{\rho}{\epsilon} \quad (1 \text{ 分})$$

3. (8 分) 如下图所示的同轴电缆 (内、外径分别为 R_1 、 R_3) 同轴地置有两层绝缘介质 ϵ_1 和 ϵ_2 (其分界面半径为 R_2)。现在内、外导线间施加电压 U_0 。试写出描述该同轴电缆内静电场问题的边值问题 (不必写出相应数学算子在给定坐标系下的表达式, 不必求解。)(注: 圆柱坐标系下 $\nabla V = \vec{e}_\rho \frac{\partial V}{\partial \rho} + \vec{e}_\phi \frac{\partial V}{\rho \partial \phi} + \vec{e}_z \frac{\partial V}{\partial z}$)。



设电介质 ϵ_1 、 ϵ_2 中的电位函数分别为 φ_1 、 φ_2 (2 分), 采用圆柱坐标, 则同轴电缆中的边值问题为

$$\nabla^2 \varphi_1 = 0 \quad (R_1 \leq \rho \leq R_2) \quad (1 \text{ 分})$$

$$\nabla^2 \varphi_2 = 0 \quad (R_2 \leq \rho \leq R_3) \quad (1 \text{ 分})$$

$$\varphi_1|_{\rho=R_1} = U_0 \quad (2 \text{ 分})$$

$$\varphi_2|_{\rho=R_3} = 0$$

$$\varphi_1|_{\rho=R_2} = \varphi_2|_{\rho=R_2}$$

$$\epsilon_1 \frac{\partial \varphi_1}{\partial \rho} \Big|_{\rho=R_2} = \epsilon_2 \frac{\partial \varphi_2}{\partial \rho} \Big|_{\rho=R_2} \quad (2 \text{ 分})$$

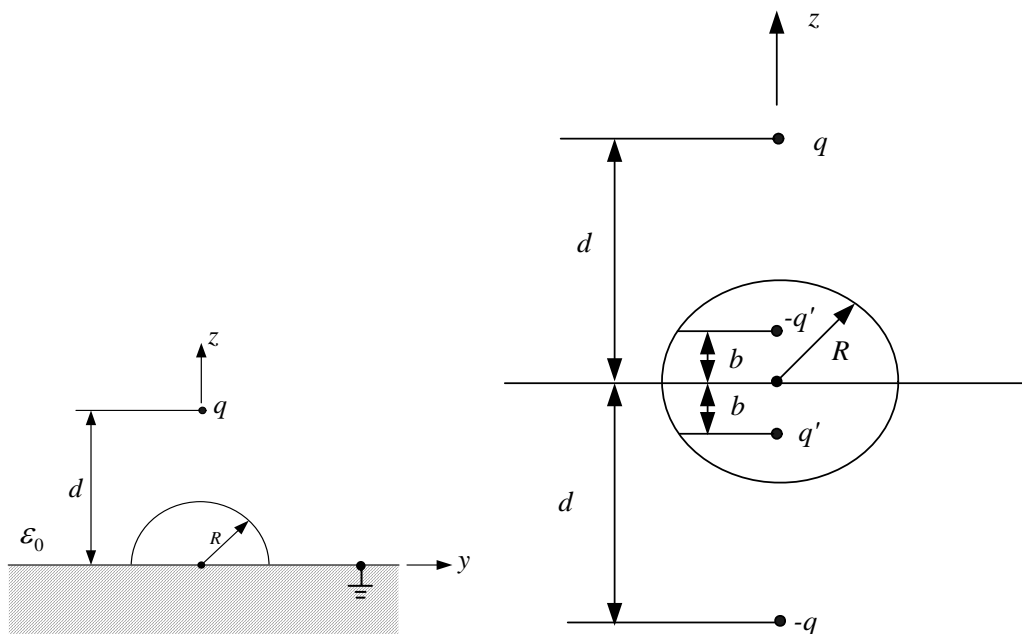
4. (6 分) 如图所示, 一半径为 R 的金属半球置于真空中无限大接地导电板上, 在球外距半球心为 d 处有一点电荷 q 。试画出应用镜像法求解该静电场问题的示意图 (只需给出镜像电荷的位置与电量)。

解, 应用平面镜像法和球面镜像法 (1 分), 原问题可等价于原电荷和三个镜像电荷

组成的点电荷系统产生的静电场问题。其中: $b = \frac{R^2}{d}$ (2 分), 图正确 (3 分, 每个电

$$q' = \frac{R}{d} q$$

荷 1 分)



5. (6 分) 在介电常数为 ϵ 的电介质中, 若置有一孤立的球形导体球 (半径为 b), 设其带电量为 q ($q > 0$) 的静电电荷, 则该导体球的电位 $\varphi = \frac{q}{4\pi\epsilon b}$; 导体球内、外的电场强度 $\vec{E}(\vec{r})$

分别为 0 、 $\vec{E} = \frac{q}{4\pi\epsilon b^2} \vec{e}_r$, 在球外空间中建立的电场能量密度 $w'_e = \frac{q^2}{32\pi^2 \epsilon b^4}$, 电场能量

$W_e = \frac{q^2}{8\pi\epsilon b}$; 对应的电容参数 $C = 4\pi\epsilon b$ 。(每空 1 分)

二、(12 分) 在一半径为 a 、体电荷密度为 ρ 的球形带电体内部有一半径为 b 的球形空洞 ($d+b < a$), 如图所示。试计算在经过两球心 (O_1O_2) 连线任意平面内的球外电场分布。

- (1) 应用叠加原理, 原问题等价于一半径为 a 、体电荷密度为 ρ 的球形带电体与一 O_2 为圆心、以 b 为半径、体电荷密度为 $-\rho$ 的球形带电体产生场的叠加, 见图 (4 分)。
- (2) 由半径为 a 、体电荷密度为 ρ 的球形带电体产生的球外任意一点的电场强度, 可应用高斯定理计算, 为:

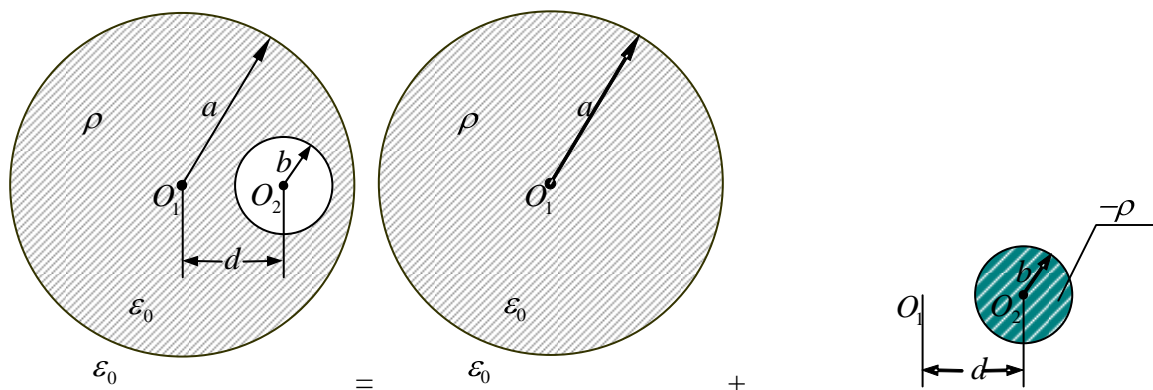
$$\vec{E}_1 = \frac{a^3 \rho}{3\epsilon_0} \frac{\vec{R}}{R^3} \quad (\vec{R} \text{ 为球心 } O_1 \text{ 到场点的位置矢量}) \quad (3 \text{ 分})$$

- (3) 由半径为 b 、体电荷密度为 $-\rho$ 的球形带电体产生的球外任意一点的电场强度, 可应用高斯定理计算, 为:

$$\vec{E} = \frac{b^3 \rho}{3\epsilon_0} \frac{\vec{r}}{r^3} \quad (\vec{r} \text{ 为球心 } O_2 \text{ 到场点的位置矢量}) \quad (3 \text{ 分})$$

(4) 故原问题的解为:

$$\vec{E} = \vec{E}_1 + \vec{E}_2 \quad (2 \text{ 分})$$



三、(26 分) 如图所示的无限长直空心同轴电缆，内导体的内、外径分别为 R_1 、 R_2 ，内导体中直流电流 I 流向为 z 轴正向；外导体的内、外径分别为 R_3 、 R_4 ，流经内导体的直流电流全部经外导体返回，即 $\vec{H} = 0 (\rho > R_4)$ 。

I. 在内外导体均为非理想导体条件下，计算：

(1) (8 分) 空心内腔、内导体中、内外导体间和外导体中的磁场强度；

(2) (6 分) 该同轴电缆单位长度的内自感 L_i 、外自感 L_o ；

(3) (4 分) 该空心电缆单位长度电容 C_o ；

II. 在内外导体均为理想导体条件下，计算：

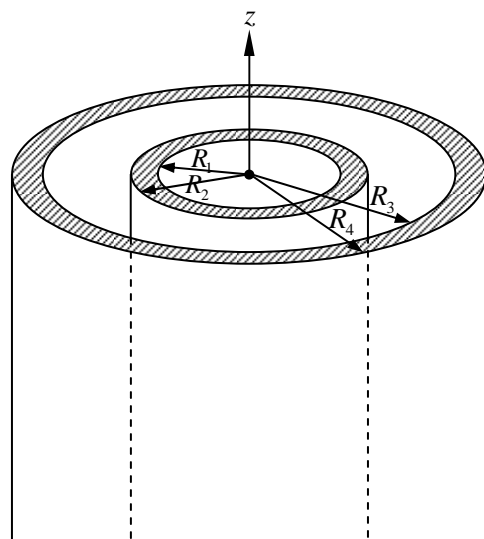
(1) (2 分) 空心内腔、内导体中、内外导体间和外导体中的磁场强度；

(2) (4 分) 该同轴电缆单位长度的内自感 L_i 、外自感 L_o ；

(3) (2 分) 该空心电缆单位长度电容 C_o ；

I. 在内外导体均为非理想导体条件下，计算：

(1) 空心内腔、内导体中、内外导体间和外导体中的磁场强度



$$H_{\phi}(\rho) = \begin{cases} 0 & (\rho < R_1 \text{ 或 } \rho > R_4) \\ \frac{I(\rho^2 - R_1^2)}{2\pi\rho(R_2^2 - R_1^2)} & (R_1 < \rho < R_2) \\ \frac{I}{2\pi\rho} & (R_2 < \rho < R_3) \\ \frac{I(R_4^2 - \rho^2)}{2\pi\rho(R_4^2 - R_3^2)} & (R_3 < \rho < R_4) \end{cases}$$

(2) 该同轴电缆单位长度的内自感 L_i 、外自感 L_o

导体内的磁场能量为：

$$\begin{aligned} (W_m)_{\text{int}} &= \int_{V_{\text{conductor}}} \frac{1}{2} \mu H^2 = \frac{\mu_0}{2} \int_{R_1}^{R_2} \left[\frac{I(\rho^2 - R_1^2)}{2\pi(R_2^2 - R_1^2)\rho} \right]^2 2\pi\rho \cdot l d\rho + \frac{\mu_0}{2} \int_{R_3}^{R_4} \left[\frac{I(R_4^2 - \rho^2)}{2\pi\rho(R_4^2 - R_3^2)} \right]^2 2\pi\rho \cdot l d\rho \\ &= \frac{I^2 l \mu_0}{4\pi} \left\{ \frac{1}{(R_2^2 - R_1^2)^2} \left[\frac{R_2^4 - R_1^4}{4} + R_1^4 \ln \frac{R_2}{R_1} - R_1^2 (R_2^2 - R_1^2) \right] \right. \\ &\quad \left. + \frac{1}{(R_4^2 - R_3^2)^2} \left[\frac{R_4^4 - R_3^4}{4} + R_4^4 \ln \frac{R_4}{R_3} - R_4^2 (R_4^2 - R_3^2) \right] \right\} \end{aligned}$$

内外导体间的磁场能量

$$(W_m)_{\text{ext}} = \int_{V_{\text{space}}} \frac{1}{2} \mu H^2 = \frac{\mu_0}{2} \int_{R_2}^{R_3} \left(\frac{I}{2\pi\rho} \right)^2 2\pi\rho \cdot l d\rho = \frac{\mu_0 I^2 l}{4\pi} \ln \frac{R_3}{R_2}$$

由此可得单位长度内自感 L_i 、外自感 L_o 分别为：

$$\begin{aligned} L_{\text{int}} &= \frac{2(W_m)_{\text{int}}}{I^2} = \frac{\mu_0}{2\pi} \left\{ \frac{1}{(R_2^2 - R_1^2)^2} \left[\frac{R_2^4 - R_1^4}{4} + R_1^4 \ln \frac{R_2}{R_1} - R_1^2 (R_2^2 - R_1^2) \right] \right. \\ &\quad \left. + \frac{1}{(R_4^2 - R_3^2)^2} \left[\frac{R_4^4 - R_3^4}{4} + R_4^4 \ln \frac{R_4}{R_3} - R_4^2 (R_4^2 - R_3^2) \right] \right\} \end{aligned}$$

$$L_o = \frac{2(W_m)_{\text{ext}}}{I^2} = \frac{\mu_0}{2\pi} \ln \frac{R_3}{R_2}$$

(3) 该空心电缆单位长度电容 C_o ：

设同轴电缆内外导体带电为 $+\tau$ 和 $-\tau$ 。根据题意，绝缘介质中的电场具有圆柱对称的平行平面场特征，故可直接引用高斯定理得

$$\mathbf{E}_\rho = \frac{\tau}{2\pi\epsilon_0\epsilon_r\rho} \mathbf{e}_\rho \quad (2 \text{ 分})$$

从而，内外导体间的电位差

$$U = \int \mathbf{E} \cdot d\boldsymbol{\rho} = \int_{R_2}^{R_3} \frac{\tau}{2\pi\epsilon_0\epsilon_r} d\rho = \frac{\tau}{2\pi\epsilon_0\epsilon_r} \ln \frac{R_3}{R_2} \quad (2 \text{ 分})$$

故所求的单位长度的电容

$$C_0 = \frac{\tau}{U} = \frac{2\pi\epsilon_0}{\ln \frac{R_3}{R_2}} \quad (\text{F/m}) \quad (2 \text{ 分})$$

II. 在内外导体均为理想导体条件下, 计算:

(1) 空心内腔、内导体中、内外导体间和外导体中的磁场强度;

$$H_\phi(\rho) = \begin{cases} 0 & (\rho < R_2 \text{ 或 } \rho > R_3) \\ \frac{I}{2\pi\rho} & (R_2 < \rho < R_3) \end{cases}$$

(2) 该同轴电缆单位长度的内自感 L_i 、外自感 L_o ;

内自感 L_i 为零、外自感 L_o 不变:

$$L_{\text{int}} = 0$$

$$L_o = \frac{\mu_0}{2\pi} \ln \frac{R_3}{R_2}$$

(3) 该空心电缆单位长度电容 C_o ;

电缆单位长度电容 C_o 不变: 为

$$C_0 = \frac{\tau}{U} = \frac{2\pi\epsilon_0}{\ln \frac{R_3}{R_2}}$$

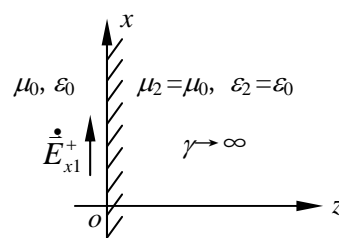
四、(14 分) 如图所示, 设自由空间中有一沿 x 轴取向的线性极化波 $\dot{\vec{E}}_{x1}^+ = E_0 e^{j\phi} e^{-j2.094z} \vec{e}_x$, 由真空中正入射于一完纯导体的表面。已知导体表面的面电流密度为 $\dot{\vec{K}} = 1.061 e^{j20^\circ} \vec{e}_x$ 。

(1) (4 分) 计算此平面波的频率 f 、波速 v ;

(2) (2 分) 求入射波电场强度的初始相位 ϕ ;

(3) (6 分) 求入射波电场强度、磁场强度及其反射分量、透射分量的相量形式;

(4) (2 分) 写出自由空间中电场强度 \vec{E} 和磁场强度 \vec{H} 的瞬时表达式。



(1) 在自由空间中, 波速 $v = c = 3 \times 10^8$ (m/s), 根据 $\dot{\vec{E}}$ 的表达式, 可知相位常数

$$k = 2.094 \text{ (rad/m)}, \text{ 根据 } k = \frac{\omega}{v} = \frac{2\pi f}{v} \text{ 有: } f = \frac{kv}{2\pi} = 1 \times 10^8 \text{ (Hz)}.$$

(2) 当均匀平面电磁波由理想介质正入射到理想导体平面时, 将要发生全反射。此时,

理想介质中的电磁波为驻波。其中的合成磁场强度 \dot{H}_y 与入射波电场强度 \dot{E}_0 的关系为：

$$\dot{H}_y = \dot{H}_{y1}^+ - \dot{H}_{y1}^- = \frac{\dot{E}_0}{\eta} (e^{-jkz} + e^{jkz}) = \frac{2\dot{E}_0}{\eta} \cos kz$$

在理想导体的表面有：

$$\dot{H}_y = \frac{2\dot{E}_0}{\eta} \cos 0 = \frac{2\dot{E}_0}{\eta}$$

又由 $\vec{k} = \vec{n}_0 \times \vec{H}_y$ 可得

$$\dot{K}_x = \dot{H}_y = \frac{2\dot{E}_0}{\eta} \cos 0 = \frac{2\dot{E}_0}{\eta}$$

显然， \dot{K}_x 与入射波电场强度同相位。根据导体表面的面电流密度为

$\vec{K} = 1.061e^{j20^\circ} \vec{e}_x$ ，不难确定入射波电场强度的初始相位 $\phi = 20^\circ$ 。

(3) 由 (2) 的解答，可知： $\dot{E}_0 = \frac{\eta \dot{K}}{2}$ 。所以： $E_0 = \frac{\eta K}{2} = \frac{377 \times 1.061}{2} = 200$ (V/m)。

因此，

$$\dot{E}_{x1}^+ = 200e^{j20^\circ} e^{-j2.094z} \vec{e}_x, \quad \dot{E}_{x1}^- = -200e^{j20^\circ} e^{j2.094z} \vec{e}_x, \quad \dot{H}_{y1}^+(z) = \frac{200}{377} e^{j20^\circ} e^{-j2.094z},$$

$$\dot{H}_{y1}^- = -\frac{\dot{E}_{x1}^-}{\eta} = \frac{200}{377} e^{j20^\circ} e^{j2.094z} \vec{e}_x, \text{ 透射电场、磁场皆为零。}$$

(4) 在自由空间中： $\dot{E}_{x1}(z) = \dot{E}_{x1}^+(z) + \dot{E}_{x1}^-(z) = \dot{E}_{x1}(e^{-jkz} - e^{jkz}) = -2j \cdot 200e^{j20^\circ} \sin kz = 400e^{-j70^\circ} \sin kz$,

$$\dot{H}_y(z) = \dot{H}_{y1}^+(z) - \dot{H}_{y1}^-(z) = \frac{1}{\eta} (\dot{E}_{x1}^+ e^{-jkz} - \dot{E}_{x1}^- e^{jkz}) = \frac{2\dot{E}_{x1}}{\eta} \cos kz = 1.061 e^{j20^\circ} \cos kz, \text{ 对应的瞬时表}$$

达式为：

$$E_{x1}(z, t) = \sqrt{2} \cdot 400 \sin kz \cos(\omega t - 70^\circ) \text{ (V/m)},$$

$$H_{y1}(z, t) = \sqrt{2} \cdot 1.061 \cos kz \cos(\omega t + 20^\circ) \text{ (A/m)}。$$

完纯导体内，电场、磁场皆为零。

五、(8 分)如图所示，一圆环形平行板电容器的电容为 $C = \epsilon A/d$ (其中 A 为电容器的极板面积， d 为极板间的距离， ϵ 为极板间介质的介电常数)。现有充电电流 i 经连接线对电容器充电。充电过程中，平行板间将产生电场 E ，平行板间的电场能量密度为 $\epsilon E^2/2$ 。

试应用坡印廷矢量和坡印廷定理 $-\oint_S (\vec{E} \times \vec{H}) \cdot d\vec{S} = \frac{dW}{dt} + P$ 分析并证明平行板电容器间电场能量的来源，进而说明导线在电磁能量传输过程中的作用(计算平行板电容器内电磁场时，忽略边缘效应，即认为平行板间电磁场为均匀电场 \vec{E} ，且除去极板间该介质 ε 的空间外，其余空间中无电场分布)。

忽略边缘效应，平行板电容器间的电磁场为平行平面电磁场，电场为均匀平行平面电场。

(1) (1分) 平行板电容器电场能量

$$W_e = \int_V w_e dv = \frac{\varepsilon E_z^2}{2} \int_V dv = \frac{\varepsilon E_z^2}{2} dA$$

(2) (2分) 若设 z 坐标轴方向向下，则电容器外表面 ($\rho = a$) 处的磁场强度为：

$$\oint_i \vec{H} \cdot d\vec{l} = \int_s \frac{\partial \vec{D}}{\partial t} ds$$

$$2\pi a H_\phi = \varepsilon A \frac{dE_z}{dt}$$

$$H_\phi = \frac{\varepsilon A}{2\pi a} \frac{dE_z}{dt}$$

(3) 由功能平衡关系式

(a) (2分) 单位时间内进入电容器内的电磁能量

由假设其他空间无电场，可得坡印廷矢量仅在电容器的侧面不为零，为

$$\vec{S} = \vec{E}_z \times \vec{H}_\phi = E_z \frac{\varepsilon A}{2\pi a} \frac{dE_z}{dt} (-\vec{e}_\rho)$$

由此可得单位时间内进入电容器内的电磁能量

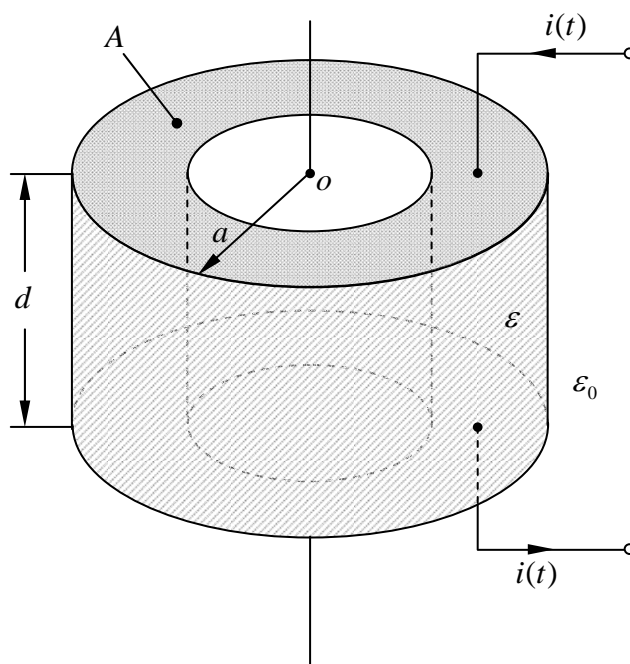
$$\int_s -\vec{S} \cdot d\vec{s} = \int_s E_z \frac{\varepsilon A}{2\pi a} \frac{dE_z}{dt} (\vec{e}_\rho) \cdot (\vec{e}_\rho) ds = E_z \frac{\varepsilon A}{2\pi a} \frac{dE_z}{dt} (2\pi a \times d) = \varepsilon d A E_z \frac{dE_z}{dt} \quad (1)$$

(b) (2分) 功能平衡关系

由 (1) 得电场能量对时间的变化率为：

$$\frac{dW_e}{dt} = \frac{d}{dt} \left(\frac{\varepsilon E_z^2}{2} dA \right) = \varepsilon d A E_z \frac{dE_z}{dt} \quad (2)$$

由于电容器中的电介质没有损耗，因此 $P=0$ 。根据 $-\oint_S (\vec{E} \times \vec{H}) \cdot d\vec{S} = \frac{dW}{dt} + P$ ，由式 (1) 和式 (2) 可得：



$$-\oint_S (\vec{E} \times \vec{H}) \cdot d\vec{S} = \frac{dW_e}{dt}$$

即，在理想的假设条件下，充电过程进入电容器内的能量全部转化为电场能量存储在电场中。

导线——导引电磁能量的作用，使电磁能量定向、集中，不在导线中传播电磁能量。
(1分)。